

# О ПЕРКОЛЯЦИОННОЙ ПРИРОДЕ ПЕРЕХОДА ОТ 60 К- к 90 К-ФАЗЕ В $\text{YBa}_2\text{Cu}_3\text{O}_{6+\delta}$

*C. Ю. Гаврилкин, О. М. Иваненко, В. П. Мартовицкий, К. В. Мицен\*, А. Ю. Цветков*

*Физический институт им. П. Н. Лебедева Российской академии наук  
119991, Москва, Россия*

Поступила в редакцию 3 июля 2009 г.

Проведены измерения температурной зависимости теплоемкости в ВТСП  $\text{YBa}_2\text{Cu}_3\text{O}_{6+\delta}$  в интервале 1.8–300 К и в диапазоне допирования  $0.70 < \delta < 0.86$ . Полученные результаты дают основание полагать, что переход от 60 К- к 90 К-фазе в  $\text{YBa}_2\text{Cu}_3\text{O}_{6+\delta}$  имеет перколоционную природу, а недодопированная 60 К-фаза представляет собой гетерофазную структуру, в которой множество сверхпроводниковых нанокластеров погружены в изолирующую матрицу.

## 1. ВВЕДЕНИЕ

Отличительными особенностями купратных ВТСП являются наличие псевдощели в спектре возбуждений [1] в нормальном состоянии и электронная наномасштабная пространственная неоднородность [2]. Оба этих явления были подробно изучены, однако, несмотря на многолетние усилия как экспериментаторов, так и теоретиков, вопрос о природе и взаимосвязи этих необычных явлений остается до сих пор открытым. Также невыясненной остается связь обоих этих явлений с механизмом высокотемпературной сверхпроводимости.

Как известно, и псевдощель, и пространственная неоднородность наиболее отчетливо проявляются в недодированной фазе ВТСП и исчезают с ростом допирования при переходе в передодированную фазу. Области концентраций носителей, соответствующих недодированной, оптимально дopedированной и передодированной фазам определяются концентрацией донантов. Однако в большинстве ВТСП-соединений этот параметр трудно независимо контролировать, в связи с чем для определения уровня допирования  $r$  данного образца используют эмпирическую формулу [3], связывающую  $r$  с изменением  $T_c$  образца относительно его максимального значения в оптимально дopedированной фазе. Одним из немногих исключений в этом отношении является ВТСП  $\text{YBa}_2\text{Cu}_3\text{O}_{6+\delta}$ , где донант (кислород в «цепочечных» плоскостях) имеет определенную кристал-

лографическую позицию и его концентрация может определяться независимо. Это позволяет построить реальную фазовую диаграмму  $T_c(r)$  этого соединения, используя в качестве переменной концентрацию кислорода  $\delta$ . Вид такой фазовой диаграммы  $T_c(\delta)$  существенно отличается от куполообразной кривой, даваемой формулой из работы [3]. На реальной фазовой диаграмме  $\text{YBa}_2\text{Cu}_3\text{O}_{6+\delta}$  [4] можно выделить две области концентраций  $\delta$ : область недодирования  $0.4 < \delta < 0.75$  ( $50 \text{ K} < T_c < 70 \text{ K}$ ) и область оптимального дopedирования  $0.8 < \delta < 1.0$  ( $T_c \approx 90 \text{ K}$ ). Составы, относящиеся к этим интервалам концентраций, относят, соответственно, к так называемым 60 К- и 90 К-фазам. Однако их природа, а также причины различия  $T_c$  в этих фазах так до конца и не поняты.

Между тем существует множество указаний на корреляцию между пространственным распределением электронной плотности и величины псевдощели с одной стороны и картиной распределения донантов с другой [5]. При этом существенное изменение свойств происходит на масштабах около 10–15 Å. Формирование в образце таких нанокластеров предполагает зависимость электронных свойств от локальной (на наномасштабах) концентрации или/и от взаимного расположения ближайших атомов донанта.

Выход о кластерной структуре недодированной фазы косвенно подтверждается измерениями мейсснеровского объема в зависимости от дopedирования, выполненными на различных ВТСП [6, 7]. Эти

\*E-mail: mitsen@lebedev.ru

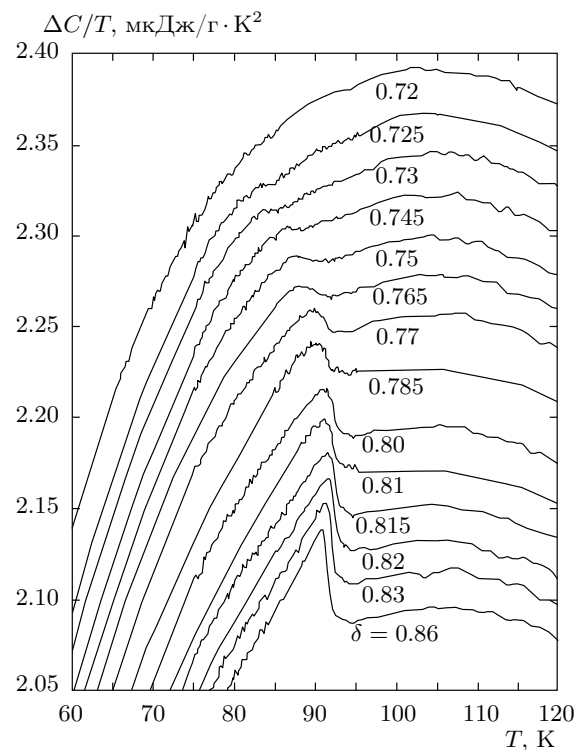
измерения показали, что «мейсснеровский объем» в недодопированной фазе уменьшается с уменьшением допирования, обращаясь в нуль одновременно с  $T_c$ . Однако вследствие наличия джозефсоновских связей между сверхпроводящими кластерами, а также из-за пиннинга магнитного потока, невозможно связать измеряемый мейсснеровский объем с объемом сверхпроводящих кластеров. Это затрудняет сравнение полученных данных с различными теориями, предполагающими подобную неоднородность.

В настоящей работе мы исследовали зависимость изменения объема сверхпроводящей фазы в  $\text{YBa}_2\text{Cu}_3\text{O}_{6+\delta}$  в области перехода от 60 К-к 90 К-фазе от уровня допирования, измеряя зависимость величины скачка теплоемкости  $\Delta C$  в точке сверхпроводящего перехода как функцию  $\delta$ . Полученные результаты дают основание полагать, что переход от 60 К-к 90 К-фазе имеет переколяционную природу, а недодопированная 60 К-фаза представляет собой гетерофазную структуру, в которой множество сверхпроводниковых нанокластеров погружены в изолирующую матрицу.

## 2. РЕЗУЛЬТАТЫ И ОБСУЖДЕНИЕ

Для измерений использовались поликристаллические образцы  $\text{YBa}_2\text{Cu}_3\text{O}_{6+\delta}$ , приготовленные по стандартной керамической технологии. Изменение содержания кислорода достигалось путем отжига полностью окисленных образцов при различных температурах в воздушной атмосфере с последующей закалкой в жидким азотом. С целью определения содержания кислорода были выполнены прецизионные (с точностью  $\pm 0.0005$  нм) измерения параметров  $a$  и  $c$  кристаллической решетки полученных образцов на дифрактометре PANalytical MRD. Далее, используя литературные данные [8] о зависимости параметров решетки  $\text{YBa}_2\text{Cu}_3\text{O}_{6+\delta}$  от содержания кислорода, определялось значение  $\delta$  для каждого исследуемого образца.

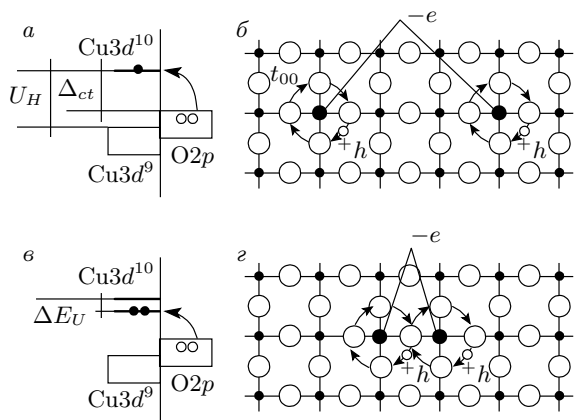
Измерения температурной зависимости полной теплоемкости  $C(T)$  в интервале 1.8 К–300 К проводились на установке PPMS-9 фирмы Quantum Design. Результаты измерений для образцов  $\text{YBa}_2\text{Cu}_3\text{O}_{6+\delta}$  с различным содержанием кислорода,  $0.70 < \delta < 0.86$ , приведены на рис. 1. Обращает на себя внимание необычное поведение (в зависимости от допирования) скачка теплоемкости  $\Delta C/T$ , отвечающего переходу в сверхпроводящее состояние. В достаточно узком интервале  $0.8 < \delta < 0.86$  величина скачка уменьшается в два раза при практическом



**Рис. 1.** Температурные зависимости теплоемкости образцов  $\text{YBa}_2\text{Cu}_3\text{O}_{6+\delta}$  с различным содержанием кислорода. Значения  $\delta$  указаны на рисунке. Кривые для разных значений  $\delta$  смещены для наглядности последовательно вверх

неизменных положении скачка и его температурной ширине. При дальнейшем понижении содержания кислорода скачок размывается, смещаясь в область более низких температур, и становится неразличимым (при данном экспериментальном разрешении) при  $\delta < 0.7$ . Данные результаты согласуются с результатами, полученными ранее [9].

Отмеченное поведение находится в очевидном противоречии с предположением о стандартном механизме сверхпроводимости при условии однородного допирования. Как известно, в модели БКШ скачок электронной теплоемкости  $\Delta C/T$  при сверхпроводящем переходе равен  $1.43\gamma$ , где  $\gamma$  — плотность электронных состояний на поверхности Ферми. Поэтому уменьшение величины скачка в области  $0.8 < \delta < 0.86$  при условии однородного допирования должно было бы означать уменьшение  $\gamma$ . Последнее, однако, противоречит постоянству критической температуры в этой области значений  $\delta$ , поскольку такое уменьшение  $\gamma$  в соответствии с БКШ моделью должно было приводить к значительному понижению  $T_c$ . В работе [10] в рамках модели псев-



**Рис. 2.** а) Электронный спектр недопированной  $\text{CuO}_2$ -плоскости,  $U_H$  — энергия отталкивания двух электронов на ионе Cu. Щель  $\Delta_{ct}$  для возбуждения с наименьшей энергией соответствует переносу электрона с кислорода на ближайший ион Cu с образованием дырки, распределенной по четырем окружающим ионам кислорода (б); в) энергия двух таких псевдоатомных возбуждений может быть понижена на  $\Delta E_U$ , если они находятся рядом и образуют псевдомолекулу (в)

дощелевого состояния, вызванного флюктуациями ближнего порядка диэлектрического типа, исследована зависимость скачка теплоемкости в точке перехода от эффективной величины псевдощели для различных типов спаривания. Однако в рамках данной модели не удается объяснить наблюдаемого в эксперименте двукратного уменьшения  $\Delta C$  при постоянной  $T_c$ .

В то же время наблюдаемое поведение согласуется с моделью [11], в которой при  $0.8 < \delta < 1.0$  сверхпроводящая фаза образует переколяционный кластер с  $T_c \approx 92$  К. С понижением  $\delta$  мощность переколяционного кластера уменьшается и в соответствии с этим уменьшается и величина скачка теплоемкости. При уменьшении  $\delta$  ниже порога переколяции  $\delta_c$  (что должно соответствовать в двумерном случае уменьшению относительной доли сверхпроводящей фазы ниже 0.5) переколяционный кластер распадается на конечные кластеры различного размера, связанные джозефсоновской связью. Рассмотрим подробнее, какой должна быть зависимость  $\Delta C/T(\delta)$ , исходя из предложенной модели [11].

Исходный пункт данной модели состоит в том, что в недопированных купратах (изоляторах) каждая пара соседних медных ионов в  $\text{CuO}_2$  плоскости представляет собой  $-U$ -центр (NUC), т. е. энергия, необходимая двум электронам, чтобы перей-

ти с ионов кислорода на два иона меди, будет меньше, если последние находятся на соседних узлах (рис. 2). Понижение энергии оказывается возможным за счет образования связанного состояния (гайтлер-лондоновского типа) двух электронов на соседних ионах Cu и двух дырок, возникающих в ближайшей окрестности этой пары катионов.

Это предполагает существование парного электронного состояния ниже дна  $\text{Cu}3d^{10}$  зоны (рис. 2). Роль допирования при этом сводится к регулированию положения этого парного уровня NUC относительно потолка валентной зоны таким образом, чтобы сделать возможными двухэлектронные переходы между ними. Такие NUC мы будем называть активными. Взаимодействие электронов валентной зоны с активными NUC полагается основным каналом электронного рассеяния, и именно оно является механизмом, обеспечивающим сверхпроводящее спаривание.

Существенно, что допированные заряды полагаются локализованными в окрестности донора. Для формирования одного активного NUC на данной паре ионов Cu необходимо иметь два соответствующих допированных заряда, расположенных на ближайших от каждого из них кислородных ионах [11]. Каждый такой заряд понижает энергию состояния  $\text{Cu}^{+1}$  соответствующего иона Cu на необходимую величину.

С увеличением допирования NUC объединяются в кластеры. Кластером NUC мы называем замкнутую область  $\text{CuO}_2$ -плоскости, в которой NUC занимают все Cu-узлы. Для  $\text{YBa}_2\text{Cu}_3\text{O}_{6+\delta}$ , предполагая случайное заполнение кислородных позиций в цепочках, мы рассчитали количество активных NUC и определили зависимость концентрации носителей от температуры и допирования [11]. Полученная зависимость оказалась в отличном согласии с экспериментом без использования масштабных подгоночных параметров.

В нашей модели сверхпроводимость появляется в кластерах и, если концентрация донора меньше той, которая соответствует порогу переколяции по кластерам NUC, то образец представляет собой среду, объемная сверхпроводимость в которой устанавливается за счет джозефсоновской связи между кластерами. Кластеры не отличаются друг от друга по концентрации носителей, но отличаются размерами. За размер кластера  $S$  мы будем принимать число включенных в него Cu-узлов.

Как было показано [11], такая кластерная структура недодопированной фазы в сочетании с особым механизмом спаривания могут приводить к

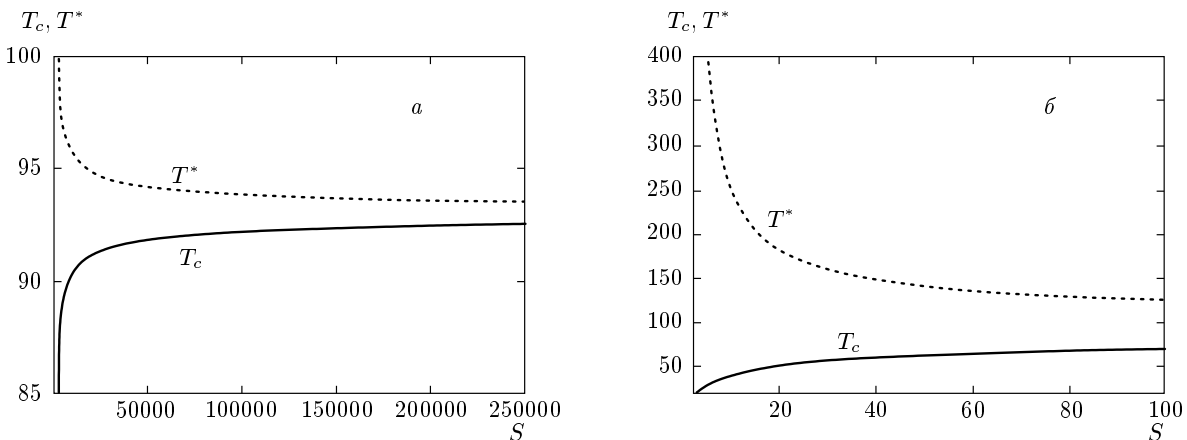


Рис. 3. Зависимости температур  $T^*$  и  $T_c$  от размера  $S$  кластера NUC в  $\text{YBa}_2\text{Cu}_3\text{O}_{6+\delta}$  при случайному заполнении кислородных позиций в цепочках (на решетке  $500 \times 500$ ):  $a$  —  $S < 250000$ ,  $b$  —  $S < 100$

появлению так называемых псевдощелевых аномалий. Дело в том, что в отличие от обычного сверхпроводника с электрон-фононным взаимодействием, где сверхпроводящая щель закрывается за счет тепловых возбуждений над поверхностью Ферми, уменьшающих число состояний, куда могут рассеиваться электронные пары, в нашем случае механизмом, приводящим к подавлению ко-герентного сверхпроводящего состояния, является заполнение NUC реальными электронами. Поэтому флюктуационное уменьшение заселенности парного электронного уровня будет приводить к флюктуационному «включению» сверхпроводимости при  $T^* > T > T_{c\infty}$  (здесь  $T_{c\infty}$  — равновесное значение  $T_c$  для бесконечного кластера из NUC). В то же время флюктуационное увеличение заселенности парного уровня будет приводить к флюктуационному «выключению» сверхпроводимости при  $T_c < T < T_{c\infty}$ .

Большие флюктуации заселенности NUC, соответствующие существенному отклонению  $T^*$  и  $T_c$  от  $T_{c\infty}$  возможны в недодопированных образцах, когда значительная часть NUC принадлежит конечным кластерам. С уменьшением допирования средний размер конечных кластеров уменьшается и относительные флюктуации заселенности NUC в этих кластерах нарастают (т. е.  $T^*$  растет, а  $T_c$  падает). С другой стороны, в передодированном образце, который можно рассматривать как единый бесконечный проводящий кластер, большие флюктуации становятся невозможны. В работе [11], исходя из предложенной модели, для конкретного соединения  $\text{YBa}_2\text{Cu}_3\text{O}_{6+\delta}$  были рассчитаны зависимости температур  $T^*$  и  $T_c$  от размера кластера NUC (рис. 3). В данной модели

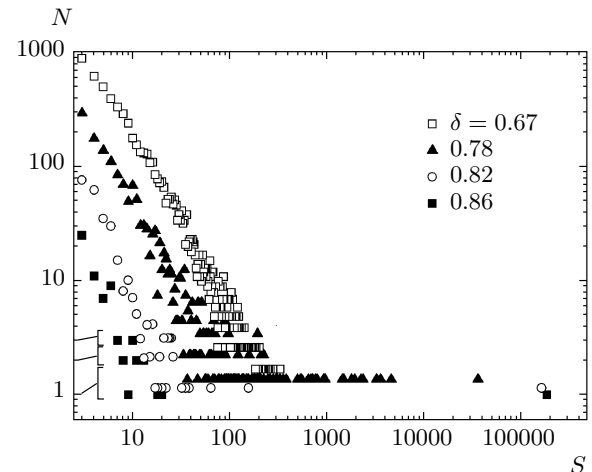
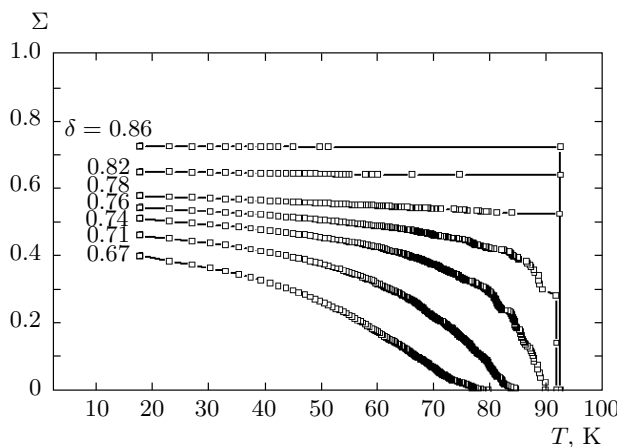


Рис. 4. Зависимости числа  $N$  кластеров NUC от их размера  $S$  для различных  $\delta$  при случайному заполнении кислородных позиций в цепочках. Зависимости  $N(S)$  для различных  $\delta$  сдвинуты последовательно вверх для наглядности. Квадратные скобки на рисунке объединяют группы кластеров с  $N = 1, 2, 3$

обе эти температуры получаются, как два решения одного квадратного уравнения.

Предполагая случайное распределение кислорода в цепочных плоскостях, мы рассчитали статистику кластеров NUC в  $\text{CuO}_2$ -плоскости для различных значений  $\delta$ . Расчет проводился методом Монте-Карло для решетки  $500 \times 500$  Cu-узлов. На рис. 4 приведены полученные зависимости числа кластеров  $N$  от их размера  $S$  для различных  $\delta$ . Определенное таким методом значение порога переколияции

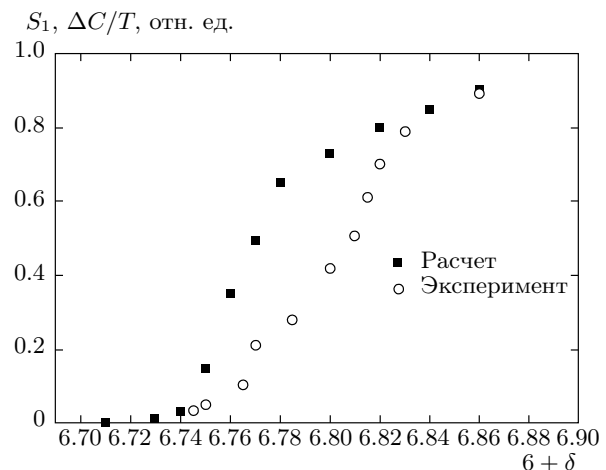


**Рис. 5.** Зависимости относительного объема сверхпроводящей фазы  $\Sigma$  от температуры для различных значений  $\delta$ . Каждая точка на кривых  $\Sigma(T)$  соответствует переходу одного кластера в сверхпроводящее состояние при данной температуре

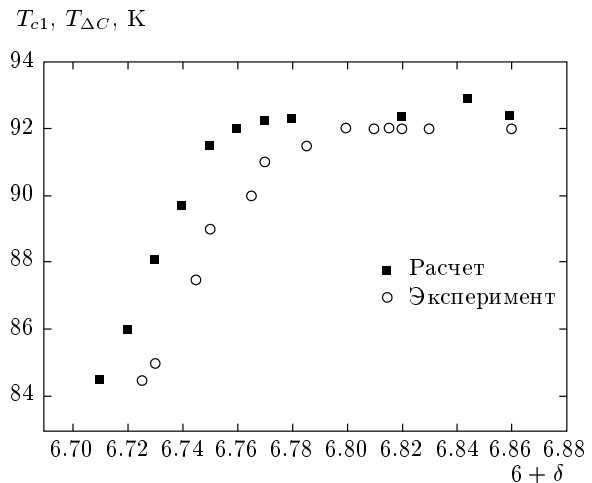
$\delta_c$  по кластерам NUC составило  $\delta_c = 0.78$ . Обратим внимание, что если в диапазоне  $0 < \delta < 0.78$  средний размер кластеров увеличивается с ростом  $\delta$ , то в диапазоне  $0.78 < \delta < 1$  средний размер конечных (неперколяирующих) кластеров уменьшается. Кроме того, как видно на рис. 4, большинство конечных кластеров имеют размеры в диапазоне 10–100 узлов, что, согласно рис. 3, соответствует  $T_c = 50$  К–70 К. Это и есть так называемая 60 К-фаза!

Как ранее отмечалось, кластеры NUC не отличаются друг от друга по концентрации носителей, но из-за различия в размерах (т. е. в количестве NUC), они будут иметь различные  $T_c$  (рис. 3). Это приводит к тому, что при понижении температуры в образце с данным  $\delta$  кластеры NUC будут переходить в сверхпроводящее состояние постепенно, начиная с  $T = T_{c1}$  — температуры перехода кластера максимального размера  $S_1$ . В соответствии с этим, с понижением температуры ниже  $T_{c1}$  будет расти объем сверхпроводящей фазы. На рис. 5 приведены полученные зависимости относительного объема сверхпроводящей фазы  $\Sigma$  от температуры для различных значений  $\delta$ . Каждая точка на кривых  $\Sigma(T)$  соответствует переходу одного кластера в сверхпроводящее состояние при данной температуре.

При таком подходе экспериментально наблюдаемый скачок теплоемкости (при  $T = T_{\Delta C}$ ) на образце с данным значением  $\delta$  естественно связать с переходом в сверхпроводящее состояние при  $T = T_{c1}$  кластера NUC максимального размера  $S_1$ . При этом величина скачка  $\Delta C/T$  для данного  $\delta$  будет пропор-



**Рис. 6.** Сравнение зависимостей экспериментально измеренного скачка теплоемкости  $\Delta C/T$  и рассчитанного размера  $S_1$  максимального кластера NUC от степени дипирования  $\delta$



**Рис. 7.** Сравнение зависимостей экспериментально измеренной температуры скачка теплоемкости  $T_{\Delta C}$  и рассчитанной температуры сверхпроводящего перехода кластера NUC максимального размера  $T_{c1}$  от степени дипирования  $\delta$

циональна  $S_1$ . На рис. 6 сравниваются результаты измерений  $\Delta C/T(\delta)$  (в относительных единицах) с зависимостью  $S_1(\delta)$ . Видно, что обе зависимости достаточно хорошо согласуются друг с другом: и  $\Delta C$ , и  $S_1$  обращаются в нуль при  $\delta < 0.73$ . Аналогичное согласие можно видеть и из сравнения зависимостей от дипирования температуры скачка теплоемкости  $T_{\Delta C}$  и расчетной температуры сверхпроводящего перехода кластера максимального размера

$T_{c1}$  (рис. 7). Некоторое расхождение при промежуточных значениях  $\delta$  на рис. 6 объясняется несколько большим значением экспериментального порога переколяции по сравнению с расчетным из-за наличия в цепочках медных вакансий (около 3 %), которые не принимались во внимание при расчете, а также взаимодействием кислородных атомов в цепочках и между цепочками, что может приводить к отклонению распределения атомов кислорода в цепочках от случайного.

Переход в сверхпроводящее состояние остальных кластеров, составляющих практически непрерывный спектр размеров (и следовательно, имеющих широкий спектр  $T_c$ ), проявляется лишь как выпуклость на фоне резкого спада теплоемкости. Со стороны высоких температур эта выпуклость будет ограничена  $T_{c2}$  — температурой перехода второго по величине кластера. С уменьшением  $\delta$  разность  $T_{c1}-T_{c2}$  уменьшается.

Таким образом, предложенная модель позволяет дать качественное и количественное объяснение как особенностям поведения скачка теплоемкости в  $\text{YBa}_2\text{Cu}_3\text{O}_{6+\delta}$  в зависимости от допирования, так и наличию 90 К- и 60 К-плато на фазовой диаграмме этого соединения.

### 3. ЗАКЛЮЧЕНИЕ

В настоящей работе выполнены подробные измерения температурной зависимости теплоемкости ВТСП  $\text{YBa}_2\text{Cu}_3\text{O}_{6+\delta}$  в диапазоне допирования  $0.7 < \delta < 0.84$ , соответствующем переходу от 60 К-к 90 К-фазе. Главным результатом работы является вывод о переколяционном характере этого перехода. При этом 90 К-плато соответствует температуре сверхпроводящего перехода переколяционного кластера, в котором относительные флуктуации малы и не влияют на  $T_c$  кластера. В то же время так называемое 60 К-плато обязано своим существова-

нием тому факту, что подавляющее большинство конечных кластеров (объединенных джозефсоновскими связями) имеют размеры менее 10 нм, для которых относительные флуктуации достаточно велики и приводят к понижению  $T_c$  до 50 К–70 К в зависимости от уровня допирования  $\delta$ .

Авторы благодарят Ю. В. Копаева и В. М. Пудалова за полезное обсуждение и ценные замечания.

Работа выполнена при финансовой поддержке РФФИ (грант № 08-02-00881).

### ЛИТЕРАТУРА

1. T. Timusk and B. Statt, Rep. Prog. Phys. **62**, 61 (1999).
2. K. McElroy, J. Lee, J. A. Slezak et al., Science **309**, 1048 (2005).
3. M. R. Presland, J. L. Tallon, R. G. Buckley et al., Physica C **176**, 95 (1991).
4. K. Segawa and Y. Ando, Phys. Rev. Lett. **86**, 4907 (2001).
5. R. Ofer, S. Levy, A. Kanigel, and A. Keren, Phys. Rev. B **73**, 012503 (2006).
6. К. В. Мицен, О. М. Иваненко, С. Ю. Буркин, Кратк. сообщ. по физике **6**, 18 (2007).
7. Y. Koike, T. Adachi, Y. Tanabe et al., J. Phys.: Conf. Ser. **108**, 12003 (2008).
8. Y. Nakazawa and M. Ishikawa, Physica C **158**, 381 (1989).
9. J. W. Loram, K. A. Mirza, J. R. Cooper, and W. Y. Liang, Phys. Rev. Lett. **71**, 1740 (1993).
10. М. В. Садовский, ЖЭТФ **125**, 854 (2004).
11. К. В. Мицен, О. М. Иваненко, ЖЭТФ **135**, 1153 (2008).